

## 論 文

## [2065] アンボンド型充填鋼管コンクリート構造の中心圧縮性状とその定式化

正会員 ○佐藤 孝典 (清水建設技術研究所)

正会員 下戸 芳寛 (清水建設原子力本部)

渡辺 泰志 (清水建設設計本部)

## 1. はじめに

高耐力、高韌性構造の一つに、筆者等が既に報告した「アンボンド型充填鋼管コンクリート構造」(以下、UTC構造と略す。)がある<sup>1),2)</sup>。UTC構造は、主に柱部材に適用される構造形式で、軸力の応力伝達機構に特徴がある。軸力は支圧板等によって充填コンクリート断面のみに伝達され、円形鋼管は充填コンクリートへのコンファインド効果を発揮する。このメカニズムがスムーズに流れるように、円形鋼管の内面にアンボンド材(約0.2mm厚のアスファルト)を塗布して、コンクリートを充填した構成となっている(図-1参照)。

このUTC構造の軸力、曲げ、せん断に対する耐力や変形能力を評価する際、コンファインド効果を考慮した応力-歪関係が必要となる。既往の文献によると最大耐力( $f_c$ )やそのときの歪度( $\epsilon_0$ )については数多くの研究が発表されている<sup>3),4),5)</sup>。また、下降域における変形について述べた研究はいくつかある<sup>6),7)</sup>。しかしながら、局部的な破壊ゾーンでのすべり量( $\delta_p$ )が試験体全体に及ぼす変形能力を検討した文献は少ない<sup>8)</sup>。そこで、62体に及ぶ中心圧縮実験を行い、その結果を用いて物理現象をできるだけ忠実に表現できる応力-歪関係を定式化する。

## 2. 実験概要

## 2.1 各シリーズの試験体

シリーズIにおいて、UTC構造の破壊過程を物理現象として把握し、それに引き続くシリーズII、III、IVにおいて、それを定量的に検討することにした。試験体一覧を表-1に示す。

シリーズI … 試験体の直径( $D$ )を変えてスケールイフェクトを調べ、鋼管の板厚( $t$ )を変えてコンファインド効果を調べた。また、直径 $\phi 216$ ,  $\phi 406$ ,  $\phi 609$ において充填コンクリートの各区間変形を測定し、それらの局部的な破壊状況を調べた。

シリーズII … シリーズIの結果を反映して、局部的な破壊ゾーンでのすべり量( $\delta_p$ )を間接的に把握することと、アンボンド性状を調べるために、高さ( $H$ )を変えた。

シリーズIII … 軸鉄筋が入ることもあるので、軸鉄筋量( $A_g$ )を変えて、その影響を調べた。

シリーズIV … コンクリート強度( $F_c$ )と鋼管の板厚( $t$ )の関係をえた。

下端で鋼管と充填コンクリートが平面保持されるように、プレートを鋼管に溶接した。その後、焼鈍して残留歪と残留応力を取り除いた。そして、鋼管内面にアスファルトをホット・メルト型スプレーで吹付塗布した。その塗布厚は、100μm~400μmのバラツキの範囲にあった。既に報告したように、この範囲のバラツキであれば、構造性能に支障ない<sup>1)</sup>。

コンクリートは、最大骨材粒径を20mmとし、調合は表-2に示すとおりである。コンクリート強度を調べるテストピースの養生条件については、シリーズIIのコンクリートで封かん養生と気

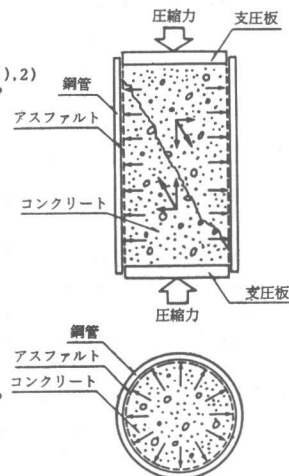


図-1 アンボンド型充填鋼管コンクリート構造

乾養生の比較を行った。その結果、表-3に示すように両者の強度の差は6%以内であった。そこで、他のコンクリートについては一般的な気乾養生のコンクリート強度を採用した。

表-1 試験体一覧

名 称	直 径 (mm)	高 さ (mm)	板 厚 (mm)	D/t	コンクリート強度		鋼管強度		軸鉄筋強度		体 数 単 調 繰 返	
					$F_c$ (kgf/cm <sup>2</sup> )	$f_t$ (kgf/cm <sup>2</sup> )	$\sigma_y$ (kgf/cm <sup>2</sup> )	$\sigma_u$ (kgf/cm <sup>2</sup> )	$A_s$ (cm <sup>2</sup> )	$\sigma_y$ (kgf/cm <sup>2</sup> )	$\sigma_u$ (kgf/cm <sup>2</sup> )	
I	S06B58	114	600	6	1.97	58	43.5	3115 3025 3598 2935 40.0	3480 3580 4659 4718 4730	— — — — —	2 1 1 1 1 1 2 1 2 1	
	MD6B102	216	1200		2.11	102			—	—	—	
	MD6B70				3.09	70			—	—	—	
	MD6B22				9.94	22			—	—	—	
	L06B66	406	2400		6.14	66			—	—	—	
II	L06B66	609	3600	12	9.17	66	43.5	515	3651	5002	—	2 1 3 2 3 2 2 2
	S03B52	300	3						—	—	—	
	S06B52	600	6						—	—	—	
	S09B52	114	900		2.19	52			—	—	—	
III	SL2B52	1200	12	6			34.3	2873	3509	— — —	1 1 1 1	
	S06C36											
IV	S06C36G	114	600	6	3.20	36	374	35.8	3664	4728 1.92(6-D6) 4.26(6-D10)	4223 5557 4440	1 1 1 1 1 1
	S06C36H											
	S06A21				5.50	21						
V	S06A52			6	2.19	52	627 580	42.1	3767 2873	4322 3509	— — — — —	5 0 1 0 5 0 3 0 2 0
	S06C52	114	600									
	S06C26				4.36	26						
	S06C19				6.11	19						
	S06D71				1.60	71						

表-2 コンクリート調合

コンクリート 強度 $F_c$ (kgf/cm <sup>2</sup> )	シリ ーズ	w/c (%)	s/a (%)	重量調合 (kg/m <sup>3</sup> )				スランプ (cm)	空気量 (%)
				水 W	セメント C	細骨材 S	粗骨材 G		
507	I	40	42	175	438	708	978	1.095	16 1.5
522								17	1.1
515								15	1.4
464	II	45	40	175	388	702	1034	0.776	15 1.3
374	III	45	40	175	388	702	1034	0.776	18 1.8
627		34	43	175	515	692	917	1.288	11 1.7
580	IV	35	37	175	500	600	1024	1.250	15 1.3
262		54	47	173	318	844	962	0.795	18 4.0

## 2.2 加力方法および測定方法

加力は、図-2に示すように上端は十分剛な支圧板を介してコンクリート断面のみを圧縮した。加力速度は、毎秒2~3kgf/cm<sup>2</sup>とした。くり返し加力は、0.5P<sub>u</sub>(P<sub>u</sub>は予想耐力)の定荷重くり返し3回、最大耐力以降の漸増くり返し3回で破壊に至らせた。

測定は、荷重、鋼管の歪、軸変形であった。鋼管の歪は、図-2に示すように、合計12ヶ所に2軸歪ゲージを貼付して測定した。軸変形は、直径φ114の

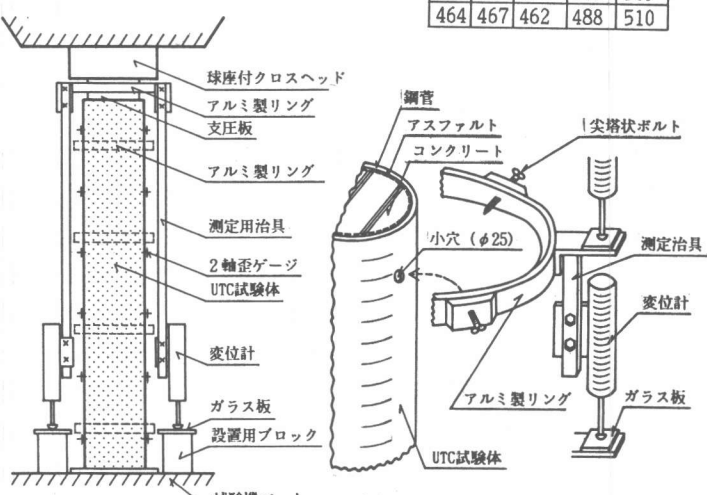


図-2 加力方法及び測定装置

(例) S 06 B 58  
試験体大きさ ↓ H/D  
D/t  
コンクリート強度

養生条件	1W	2W	3W	4W
	(kgf/cm <sup>2</sup> )			
封かん養生	366	420	436	425
気乾養生	380	432	451	453
	6W	8W	12W	16W
	443	448	470	485
	464	467	462	488
				505

図-3 アルミ製リング  
及び変位計治具

試験体については、図-2に示すように支圧板から試験機ベットでの全体変形を変位計で測定し、直径φ216, φ406, φ609の試験体については、図-2に示すように鋼管の高さ方向4レベルの円周方向3ヶ所に穴をあけ、図-3に示すようにその穴を介してアルミ製リングを尖塔状ボルトで充填コンクリートに直接固定して、5区間の充填コンクリートの変形を変位計で測定した。鋼管

の円周方向応力( $s\sigma_\theta$ )、軸方向応力( $s\sigma_z$ )は、2軸歪ゲージの円周方向歪( $s\varepsilon_\theta$ )、軸方向歪( $s\varepsilon_z$ )から弾性域では「弾性理論」、塑性域では「ひずみ増分理論」を用いて計算をした。

### 3. 実験結果および考察

#### 3.1 破壊過程

区間変形を測定したシリーズIの試験体M06B102を用いて破壊過程を述べる。図-4に各区間ごとの応力-歪関係を示す。まず、初期剛性( $E_0$ )はテストピースの初期剛性( $E_{cyl}$ )と同じで、 $\frac{2}{3}F_c$ ぐらいからわざかに折れ曲がる。最大耐力までは各区間の歪( $\varepsilon_i$ )と全体平均歪( $\varepsilon$ )はほとんど同じであるが、下降域においては区間1、2のみで大変形を生じ、他の区間は歪がもどっている。そして、そのもどり剛性( $E_R$ )は初期剛性( $E_0$ )とほぼ同じである。写真-1に示すように、実験終了後に鋼管をガス切断して、充填コンクリートの破壊状況を観察した。斜めすべり面が発生し試験体は2分されているが、それぞれのブロックにはほとんどひび割れが発生していない。これらより、最大耐力以降の下降域においては、ある一断面のみですべり現象が生じ、他は健全であると判断される。

図-5に単調加力と繰り返し加力の応力-歪関係を示す。繰り返し加力の包絡線はほとんど単調加力と一致している。他の試験体でも耐力差は±5%以内である。

#### 3.2 すべり面角度を考慮した解析的検討

十分な変形の後にすべり面が明瞭に形成された試験体について、その角度( $\theta$ )を分度器で測定した。なお、「すべり面」とは正確には粉体状になった破面のことである。引張による破面ではない。全部で23体について測定し、平均63.2° 標準偏差1.94° であった。

図-6に、すべり面角度( $\theta$ )を仮定してコンファインド効果を考慮した軸方向応力( $f_1$ )と拘束力( $f_2=2\frac{t}{D}s\sigma_y$ )の応力図を示す。

応力のつり合い条件より、

$$\sigma_n = f_1 \cos^2 \theta + f_2 \sin^2 \theta \quad \text{①}$$

$$\tau = f_1 \sin \theta \cos \theta - f_2 \sin \theta \cos \theta \quad \text{②}$$

プレーンコンクリートのときには、「 $f_2=0$ 」とすれば「 $f_1=F_c$ 」を用いて表現できる。ここで、 $\tau$ はすべり面近傍のコンクリートの破壊程度、つまり横歪( $\varepsilon_\theta$ )に依存する項 $\tau(\varepsilon_\theta)$ と、垂直応力( $\sigma_n$ )に依存する項 $\tau(\sigma_n)$ に分割することができる。

$$\tau = \tau(\varepsilon_\theta) + \tau(\sigma_n) \quad \text{③}$$

ここで、 $\tau(\sigma_n) = \mu \sigma_n$  の摩擦現象とおくと、

$$\tau(\varepsilon_\theta) = \tau - \mu \sigma_n \quad \text{④}$$

式①、②を式④へ代入すると、

$$\tau(\varepsilon_\theta) = f_1 (\sin \theta \cos \theta - \mu \cos^2 \theta) - f_2 (\sin \theta \cos \theta + \mu \cos^2 \theta) \quad \text{⑤}$$

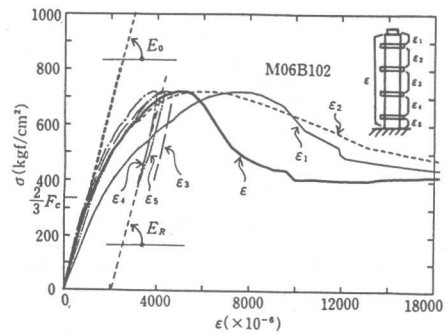


図-4 各区間ごとの応力-歪関係

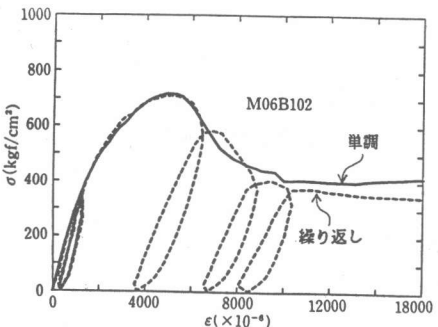


図-5 単調加力と繰り返し加力

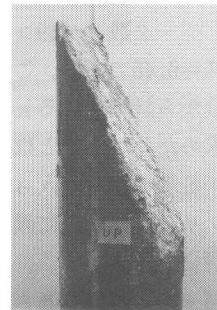


写真-1 充填コンクリートのすべり面発生状況

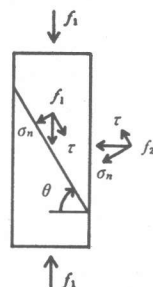


図-6 すべり面角度を考慮したモデル



$$\varepsilon_0 = \left( (0.18 - \frac{F_c}{4000}) f_z + 3 \right) \times 10^{-3} \quad \dots \dots \dots \quad (13)$$

### 3.4 下降域における耐力とすべり量

図-7で示したように耐力低下の量にも限界がある。

図-11に  $\frac{H}{D} = 5 \sim 6$  の試験体について拘束力と耐力低下率の関係をプロットする。すると次式で近似できる。

$$\Delta\sigma_z = F_c e^{-\frac{1.8 f_z}{F_c}} \quad \dots \dots \dots \quad (14)$$

図-4で述べたように最大耐力以降の歪( $\varepsilon$ )は、局部的なすべり量( $\delta_p$ )と全体高さのもどり歪( $\varepsilon_e$ )より次の関係が得られる。

$$\varepsilon = \varepsilon_0 + \varepsilon_p - \varepsilon_e \quad \dots \dots \dots \quad (15)$$

$$\text{ここで, } \varepsilon_p = \frac{\delta_p}{H}, \varepsilon_e = \frac{\Delta\sigma}{E}$$

図-12に  $\frac{H}{D} = 5 \sim 6$  の試験体直徑( $D$ )が異なる試験体の最大耐力以降の荷重( $P$ )とすべり量( $\delta_p$ )の関係を示す。ほとんど同一の曲線上にあることより、無次元量  $\frac{\delta_p}{D}$  として扱えば、スケールイフェクトはないと判断できる。

図-13に試験体高さ( $H$ )が異なる場合(シリーズII)について最大耐力以降の荷重( $P$ )とすべり量( $\delta_p$ )の関係を示す。試験体高さ( $H$ )が変っても、曲線の絶対的な形状は同じで、区間が異なるのみである。曲線の絶対的な形状は、次のようにになる。

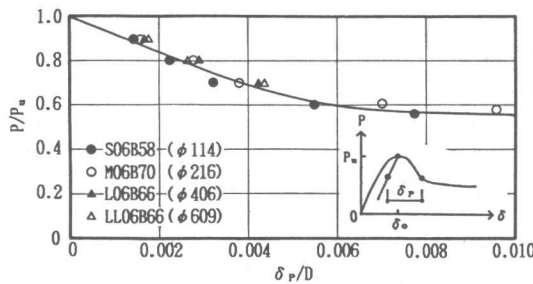


図-12 荷重-すべり量関係

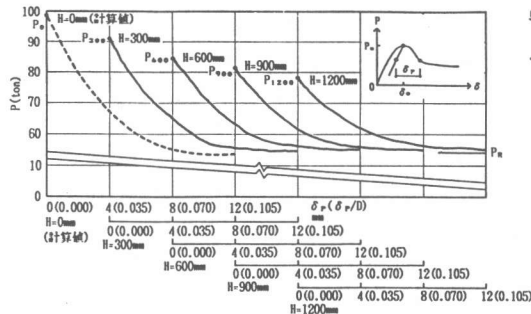


図-13 試験体高さとすべり量

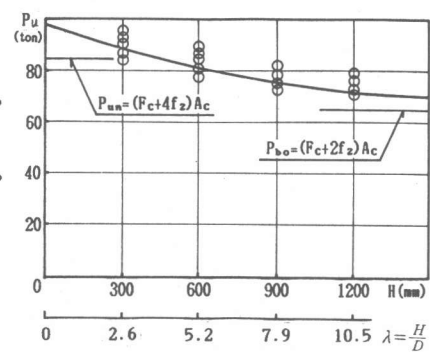


図-9 試験体高さと最大耐力

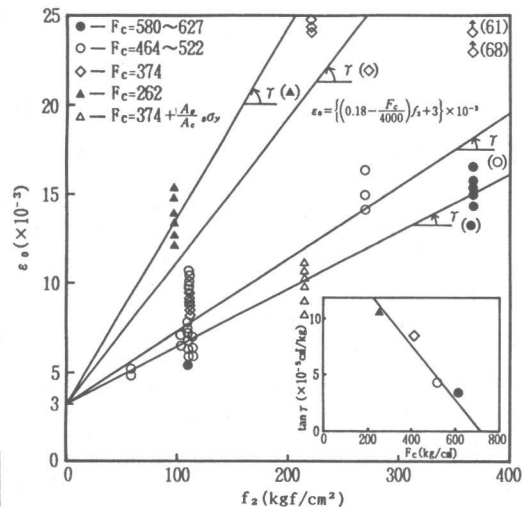


図-10 拘束力と最大耐力時の歪

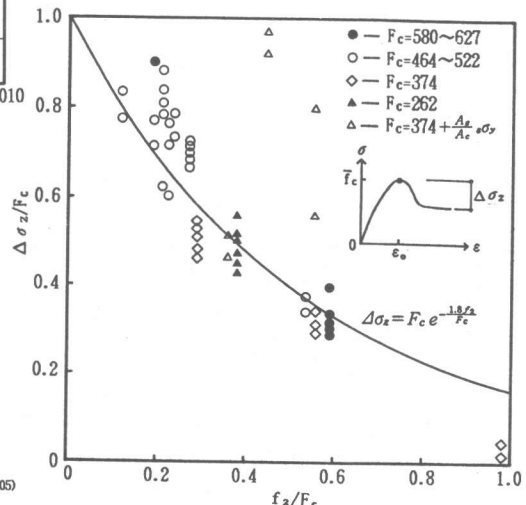


図-11 拘束力と耐力低下率

$$P = (P_0 - P_R)e^{-40\alpha} + P_R \quad \dots \quad (16)$$

ここで、 $P_0 = (F_c + 5.2f_2)A_c$  (式⑫で  $\lambda = 0$ )

$$P_R = \{ F_c (1 - e^{-\frac{1.8f_2}{F_c}}) + 4f_2 \} A_c \quad (\text{式⑫で } \lambda = 6, \text{ 式⑭より})$$

$$\alpha = \frac{\delta_p}{D}$$

$$\text{式⑯より, } \alpha(P) = 0.025 \ln \left\{ \frac{P_0 - P_R}{P - P_R} \right\} \quad \dots \quad (17)$$

$$\frac{H}{D} = \lambda \text{ の試験体のとき, } \frac{\delta_p}{D} = \alpha(P) - \alpha(P_\lambda) \quad \dots \quad (18)$$

$$P = P_\lambda + (P_\lambda - P_R)e^{-40\lambda\epsilon_p} \quad \dots \quad (19)$$

ここで、 $P_\lambda = \bar{f}_c A_c$

$$\text{したがって, } \begin{cases} \sigma = \sigma_R + (\bar{f}_c - \sigma_R)e^{-40\lambda\epsilon_p} \\ \epsilon = \epsilon_0 + \epsilon_p - \epsilon_e \end{cases} \quad \dots \quad (20)$$

$$\text{ここで, } \sigma_R = F_c (1 - e^{-\frac{1.8f_2}{F_c}}) + 4f_2 \quad \dots \quad (21)$$

$$\epsilon_e = \frac{\bar{f}_c - \sigma}{E}$$

#### 4. まとめ

アンボンド型充填鋼管コンクリート構造の中心圧縮性状について、鋼管の幅厚比 ( $\frac{D}{t}$ )、直径 ( $D$ )、コンクリート強度 ( $F_c$ )、径高さ比 ( $\frac{H}{D}$ )、軸鉄筋量 ( $A_g$ )、単調加力と繰り返し加力等をパラメータとして、「鋼管によるコンファインド効果」、「摩擦等によって鋼管に伝達される軸方向応力」、「最大耐力以降の下降域でのすべり現象」、「耐力低下の限界」等の物理現象をできるだけ忠実に表現できる応力-歪関係を定式化した。図-14に、試験体S06B52で実験結果との比較を示す。

#### 上昇域

$$0 \leq \epsilon < \frac{2F_c}{3E}: \quad \sigma = E \epsilon \quad \dots \quad (22)$$

$$\frac{2F_c}{3E} \leq \epsilon \leq \epsilon_0: \quad \sigma = \frac{\frac{2}{3}F_c - \bar{f}_c}{\left( \frac{2F_c}{3E} - \epsilon_0 \right)^2} (\epsilon - \epsilon_0)^2 + \bar{f}_c \quad \dots \quad (23)$$

#### 下降域

$$\epsilon > \epsilon_0: \quad \begin{cases} \sigma = \sigma_R + (\bar{f}_c - \sigma_R)e^{-40\lambda\epsilon_p} \\ \epsilon = \epsilon_0 + \epsilon_p - \epsilon_e \end{cases} \quad \dots \quad (20)$$

$$\text{ここで, } \sigma_R = F_c (1 - e^{-\frac{1.8f_2}{F_c}}) + 4f_2 \quad \dots \quad (21)$$

$$\epsilon_e = \frac{\bar{f}_c - \sigma}{E}$$

**謝辞** 本研究の実施に当たり、懇切なご教示をいただいた東京大学教授青山博之博士、大阪大学教授鈴木計夫博士に深甚なる謝意を表します。

#### 参考文献

- 1) 下戸、佐藤: “アンボンド型充填鋼管コンクリート構造の中心圧縮実験” 第8回コンクリート工学年次講演論文集(1986年)
- 2) 佐藤、下戸、渡辺: “アンボンド型充填鋼管コンクリートせん断伝達機構” 第9回コンクリート工学年次講演論文集(1987年)
- 3) 鈴木他: “横方向拘束力を受けるコンクリートの力学的特性に関する研究” 日本建築学会概要集(1977.10)
- 4) Richart F.E.: “A Study of the Failure of Concrete Under Combined Compressive Stresses.” Bul. 185, University of Illinois (1928)
- 5) S.P. Iyengar: “Stress-strain characteristics of concrete confined in steel binders.” M of Concrete Research V. 22, No. 72 1970.9
- 6) S.H. Ahmad S.P. Shah: “Stress-Strain Curves of Concrete Confined by Spiral Reinforcement.” J of ACI (1982.11)
- 7) 鈴木他: 円形補強筋を用いたコンファインドコンクリートの強度および変形特性” 「材料」第34巻第376号(1985.1)
- 8) G.M. van Mier: “Multiaxial strain-softening of concrete.” Vol. 19-N° 111-Materiaux et Constructions (1986)

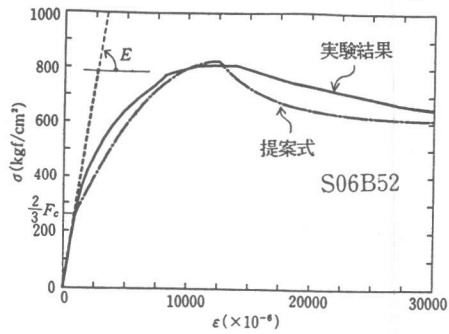


図-14 提案式と実験結果との比較  
S06B52